

СПЕКТРАЛЬНЫЙ МЕТОД ИЗМЕРЕНИЯ СКОРОСТИ НАПРАВЛЕННОГО ПОТОКА ЖИДКОСТИ ИЛИ ГАЗА

В.А. Гайский, П.В. Гайский

Морской гидрофизический институт
НАН Украины,
г. Севастополь, ул. Капитанская, 2
E-mail: oaoimhi@inbox.ru

Предлагается спектральный метод измерения скорости направленного потока с использованием первичного измерительного преобразователя меток в потоке с распределенной измерительной базой и с определением частот, на которых функция спектральной плотности сигнала меток имеет минимумы.

Известны корреляционные методы измерения скорости потока, основанные на оценке времени переноса меток (неоднородностей и (или) взвеси) потоком на расстояние между двумя фиксированными точками по максимуму корреляционной функции [1].

Недостатком корреляционных методов измерения скорости потока являются трудности технической реализации точечных датчиков меток с высоким быстродействием

Известны спектральные методы измерения скорости потока в точке по доплеровскому сдвигу частоты отраженного от меток акустического сигнала [2].

Недостатком доплеровских методов измерения скорости потока является зависимость результата измерения от скорости звука в среде, что ограничивает точность измерения.

$$R(t) = \frac{1}{L} \int_0^L \theta(x, t) dx = \frac{1}{\tau} \int_{t-\tau}^t \theta(t) dt = \frac{1}{\tau} \int_{-\infty}^{\infty} \Pi_\tau(t) \theta(t) dt, \quad (2)$$

где $\Pi_\tau(t)$ – прямоугольная функция, равная 1 на интервале $(t - \tau, t)$, и нулю вне этого интервала.

В качестве меток используются пространственные неоднородности температуры, скорости, пульсации давления, коэффициента теплообмена датчика со средой, плотности среды, электропроводимости, концентрации различных растворенных веществ и взвешенных частиц.

Ставится задача повышения точности, упрощения технической реализации и расширения областей применения метода измерения скорости потока.

Суть предлагаемого метода измерения скорости потока состоит в следующем.

Используется свойство распределенного первичного измерительного преобразователя выполнять скользящее осреднение во времени переносимых вдоль него потоком пространственных неоднородностей измеряемой величины (меток). Распределенная измерительная база (РИБ) первичного измерительного преобразователя меток размещается в потоке под углом α к направлению вектора скорости \vec{V} ($0 \leq \alpha < 90^\circ$). При этом скорость меток в потоке вдоль измерительной базы V_α составит

$$V_\alpha = V \cos^{-1} \alpha. \quad (1)$$

Пространственное распределение меток $\theta(x)$ переносится вдоль измерительной базы со скоростью V_α , осредняется на базе L и преобразуется во временной сигнал $R(t)$ на выходе первичного измерительного преобразователя в соответствии с уравнением свертки

$$\tau = LV_\alpha^{-1}, \quad (3)$$

В операторной форме

$$R(p) = H(p)\theta(p) = \frac{\sin \pi f \tau}{\pi f \tau} \exp(-j\pi f \tau) \theta(p). \quad (4)$$

Первичный измерительный преобразователь меток с равномерно распределенной базой является звеном скользя-

щего среднего на интервале времени τ , квадрат модуля амплитудно-частотной характеристики (АЧХ) которого равен

$$|H(2\pi f)|^2 = \left| \frac{\sin 2\pi f \tau}{2\pi f \tau} \right|^2 = \left| \frac{\sin 2\pi f L V_\alpha^{-1}}{2\pi f L V_\alpha^{-1}} \right|^2. \quad (5)$$

Модуль АЧХ $|H(f)|^2$ имеет нули на частотах $f_i = \frac{L}{2\tau}$ с интервалом $\Delta f_i = f_i - f_{i-1}$, $i = 1, 2, \dots, n$ причем

$$2\Delta f_i \tau = 2(\Delta f)_i L V_\alpha^{-1}. \quad (6)$$

Отсюда

$$V_i = V_\alpha \cos \alpha = 2(\Delta f)_i L \cos \alpha = 2L(f_i - f_{i-1}) \cos \alpha. \quad (7)$$

Для идентификации $|H(f)|^2$ и определения f_i входной для первичного измерительного преобразователя сигнала меток $\theta(t)$ должен иметь спектр $S_\theta(f)$, покрывающий одну или несколько полос $(f_i - f_{i-1})$. Для этого перед первичным измерительным преобразователем в потоке устанавливают специальный турбулизатор.

Независимо от спектра $S_\theta(f)$, спектр выходного сигнала $S_R(f)$ будет иметь нули на тех же частотах f_i , что и $|H(f)|^2$. Поскольку идентификация Δf потребует некоторого времени T , то значение скорости переноса меток V_α вдоль измерительной базы за это время не будет постоянным и вместо нулей $|H(2\pi f)|^2$ будут иметь место локальные минимумы, соответствующие которым частоты f_i следует определять при анализе функции спектральной плотности $S_R(f)$ выходного сигнала первичного измерительного преобразователя $R(t)$, причем

$$S_R(2\pi f) = |H(2\pi f)|^2 S_\theta(2\pi f). \quad (8)$$

В этом общем случае Δf_i будут случайными величинами, и целесообразно

взять их среднее значение по выражению

$$\overline{\Delta f}_i = \frac{1}{n} \sum_{i=1}^n (f_i - f_{i-1}), \quad (9)$$

где $i = 1, 2, \dots, n$.

Для средней скорости потока, учитывая выражения 1 и 7, получим

$$\overline{V}_T = \frac{2L \cos \alpha}{n} \sum_{i=1}^n (f_i - f_{i-1}) \quad (10)$$

Диапазон измеряемых скоростей $V_{\max} - V_{\min}$ определяет диапазон возможных частот в одном окне

$$\begin{aligned} (f_{i_{\max}} - f_{i_{\min}}) &= \\ &= (V_{\alpha_{\max}} - V_{\alpha_{\min}}) L^{-1} = \\ &= (V_{\max} - V_{\min}) \cos^{-1} \alpha L^{-1} \end{aligned} \quad (11)$$

Как видно из последнего выражения широкополосность входного для ПИП сигнала $\theta(t)$ можно обеспечить за счет установки угла α , при $\alpha \rightarrow 90^\circ$ получим $(f_{i_{\max}} - f_{i_{\min}}) \rightarrow \infty$.

Поскольку разрешение по частоте $df = T^{-1}$, то для заданного числа уровней N по измеряемой скорости можем записать

$$N = (f_{1\max} - f_{1\min}) T^{-1}, \quad (12)$$

Для необходимого времени измерения получим

$$T = \frac{N}{(f_{1\max} - f_{1\min})}. \quad (13)$$

Из выражения (12) видно, что с увеличением $\Delta f \rightarrow \infty$ получим $T \rightarrow 0$. Из выражений (7) и (10) видно, что в принципе, для определения скорости потока достаточно определить ширину любого одного из n частотного окна $\Delta f_i = f_i - f_{i-1}$.

Типовые пространственные спектры основных параметров водных сред в спадающей части хорошо аппроксимируются степенными законами вида $|k|^{-m}$, где показатель m принимает значения от 1 до 5, т.е. являются бесконечными [3, 4]. При переносе меток потоком относительно первичного измерительного преобразователя эти пространственные спектры будут трансформироваться в частотные спектры, также бесконечные. Бесконтактные первичные измерительные преобразователи, использующие

излучения могут быть сделаны почти безинерционными. Следовательно, для повышения быстродействия измерения скорости потока предлагаемым способом нет принципиальных ограничений, кроме чувствительности и быстродействия электроники обрамления первичного измерительного преобразователя.

Для иллюстрации параметров метода измерения скорости потока рассмотрим численные примеры.

Типичный диапазон измеряемых скоростей течений природных вод составляет $(0,02 \div 5) \text{ м} \cdot \text{с}^{-1}$. Зададимся требуемым разрешением по скорости 1% ($N=100$), примем угол наклона распределенной измерительной базы к направлению вектора скорости потока $\alpha = 45^\circ$ и определим первый частотный диапазон $(f_{1\max} - f_{1\min})$ (выражение 7), ширину частотного окна Δf и необходимое время измерения в первом частотном диапазоне ($n = 1$) (выражение 11) при использовании возможных измерительных баз различной длины L . Результаты представлены в табл. 1.

Т а б л и ц а 1

Характеристики метода при измерении типовых скоростей водных потоков

$L, \text{ м}$	0,01	0,02	0,03	0,04	0,05	0,1	0,5	1,0
$f_{1\max}, \text{ Гц}$	714	357	238	179	143	71,4	14,3	7,14
$f_{1\min}, \text{ Гц}$	2,86	1,43	0,95	0,715	0,572	0,286	0,057	0,029
$\Delta f, \text{ Гц}$	714	357	238	178	142	71,4	14,2	7,1
$T, \text{ с}$	0,14	0,3	0,4	0,56	0,7	1,4	7,04	14,08

Рассмотрим второй пример для скорости ветра. Типичный диапазон измеряемых скоростей ветра составляет $(1,2 \div 60) \text{ м} \cdot \text{с}^{-1}$

При принятых $N=100$ и $\alpha = 0^\circ$, частотные диапазоны $f_{1\max}$, $f_{1\min}$, Δf и необходимое время измерения T при использовании измерительных баз различной длины L представлены в табл. 2.

Таблица 2

Характеристики метода при измерении типовых скоростей ветра

$L, \text{ м}$	0,1	0,2	0,3	0,4	0,5	1,0	2,0	3,0
$f_{i\max}, \text{ Гц}$	600	300	200	150	120	60	30	20
$f_{i\min}, \text{ Гц}$	12	6	4	3	2,4	1,2	0,6	0,4
$\Delta f, \text{ Гц}$	598	294	196	147	118	59	30	20
$T, \text{ с}$	0,17	0,340	0,51	0,68	0,85	1,7	3,3	5

Рассматривая данные таблиц 1 и 2 как базовые и варьируя α , $\cos\alpha$ и устанавливая n для изменения частот ($f_{i\max} - f_{i\min}$) можно выбрать приемлемую техническую реализацию метода для конкретного применения.

Вычисление функции спектральной плотности $S_R(f)$ должно выполняться в рабочей полосе частот ($f_{i\max} - f_{i\min}$), где $i = 1, 2, \dots, n$ для конкретной измерительной базы и диапазона измеряемых скоростей потока.

Если первичный измерительный преобразователь имеет модуль $|G(2\pi f)|$ передаточной функции $G(p)$, то вместо выражения 5 следует использовать

$$|H_1(2\pi f)|^2 = \left| \frac{\sin \pi f \tau}{\pi f \tau} \cdot G(2\pi f) \right|^2 \quad (14)$$

При монотонно спадающей $G(2\pi f)$, что характерно для всех инерционных преобразователей, положение минимумов функций $|H_1(2\pi f)|^2$ и $|H(2\pi f)|^2$ и не изменится и, следовательно, частоты f_i останутся прежними.

Обобщенная структурная схема типичного устройства для реализации рассмотренного метода измерения скорости направленного потока представлена на рис. 1.

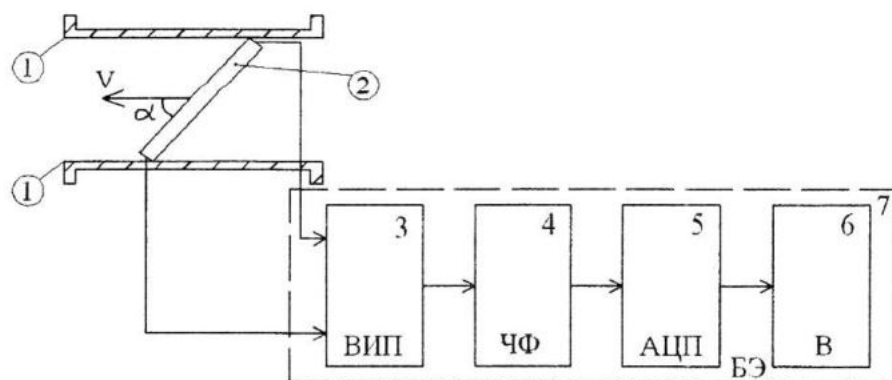


Рис. 1. Обобщенная структурная схема типичного устройства для реализации спектрального метода измерения скорости потока

В состав устройства входят: ограждение 1 первичного измерительного преобразователя (ПИП) 2 с распределенной базой, вторичный измерительный преобразователь (ВИП) 3, частотный фильтр (ЧФ) 4, аналого-цифровой преобразователь (АЦП) 5 и вычислитель (В) 6. Ограждение 1 служит для фиксации на-

правления потока и размещения измерительной базы ПИП 2 в потоке под заданным углом α к направлению вектора скорости.

Контактный ПИП 2 преобразует среднее значение сигнала меток на распределенной измерительной базе в электрический сигнал. В бесконтактном

ПИП 2 производится модуляция метками потока информативного параметра луча какого-либо излучения, например, оптического или акустического.

Бесконтактный ПИП 2 содержит источник и приемник излучения, которые могут быть совмещены при использовании отраженного сигнала.

Вторичный измерительный преобразователь 3 преобразует информативный параметр сигнала ПИП 2 в сигнал, удобный для фильтрации частотным полосовым или нижних частот фильтром ЧФ 4 и, если это необходимо, дальнейшего аналого-цифрового преобразования АЦП 5.

При использовании фильтра нижних частот его частота среза должна быть вблизи $f_{i_{\max}}$ справа, при использовании полосового фильтра – несколько шире полосы $f_i - f_{i-1}$. Частота дискретизации f_0 АЦП должна удовлетворять неравенству $f_0 > 2f_{i_{\max}}$ или $f_0 > 2n\Delta f$. Выбор значения $n \geq 1$ производят из наличия спектральных составляющих сигнала меток в потоке в рабочей полосе частот. Вычислитель 6 служит для определения функции спектральной плотности $S_R(2\pi f)$ и частот f_i , $i = 1, 2, \dots, n$. В устройстве может быть использован в качестве В6 аналоговый спектроанализатор для вычисления $S_R(f)$, в этом случае АЦП 5 отсутствует.

При использовании цифрового спектроанализатора в качестве В6 на него может быть возложена часть задачи полосовой фильтрации сигнала $R(t)$. Все узлы электроники 3 – 6 совместно образуют блок электроники (БЭ) 7, который входит в состав всех устройств, осуществляющих изложенный спектральный способ измерения скорости потока.

Работа типичного устройства состоит в скользящем осреднении сигнала меток на распределенной измерительной базе, вычислении функции спектральной плотности сигнала с выхода первичного измерительного преобразователя, определения частот f_i , на которых эта функция имеет минимум, и вычислении средней скорости потока по формуле 10.

Заключение. Предложен метод измерения скорости направленного потока, состоящий в том, что используют первичный измерительный преобразователь меток в потоке с равномерно распределенной измерительной базой длиной L

(контактный или бесконтактный), размещают измерительную базу в потоке под известным углом α ($0 \leq \alpha < 90^\circ$) к направлению потока, подают выходной сигнал $R(t)$ первичного измерительного преобразователя через вторичный измерительный преобразователь на спектроанализатор, вычисляют известным способом текущую за время T функцию спектральной плотности сигнала $S_R(f)$, определяют частоты f_i , на которых функция $S_R(f_i)$ имеет минимумы, нумеруют частоты f_i в порядке возрастания от $f_0 = 0$ до $i = 1, 2, \dots, n$, вычисляют среднюю за время T скорость потока \bar{V}_T по формуле

$$\bar{V}_T = \frac{2}{n} \sum_{i=1}^n L(f_i - f_{i-1}) \cos \alpha \quad (15)$$

Повышение точности измерений обусловлено привязкой результата измерений к расстоянию и времени (частоте).

Общим достоинством всех таких устройств является простота аппаратурной реализации в обмен на относительную сложность обработки измерительных сигналов, которая просто реализуема на современном уровне техники.

СПИСОК ЛИТЕРАТУРЫ

- Лангс Ф. Корреляционная электроника: Основы и применение корреляционного анализа в современной технике связи, измерений и регулирования. – Л.: Госудпромиздат, 1969. – 342 с.
- Мясников В.И. Измерение расхода и объема воды. Мир измерений. – 2001. – № 3, 4. – С. 4 – 9.
- Бендат Дж. Основы теории случайных шумов и ее применения. – М.: «Наука», 1965. – 465 с.
- Хинце И.О. Тurbулентность. М.– Л.: Физматгиз, 1963. – 680 с.
- Макс Ж. Методы и техника обработки сигналов при физических измерениях. В 2-х томах. Пер. с франц. – М.: «Мир», 1983. – Т. 1. – 312 с.
- Петухов Б.С. Опытное изучение процессов теплопередачи. ГЭИ., М.– Л. – 1952. – 344 с.
- Дерюгин К.К., Степанюк И.А. Морская гидрометрия. – Л.: Гидрометеоиздат, 1974. – 285 с.